



МОСКОВСКИЙ ГОСУДАРСТВЕННЫЙ УНИВЕРСИТЕТ ИМЕНИ М. В. ЛОМОНОСОВА
Факультет вычислительной математики и кибернетики
Кафедра системного анализа

Лабораторная работа №1

«Линейная задача быстродействия»

Студент 315 группы
А. А. Владимиров

Руководитель Практикума
к.ф.-м.н., доцент П. А. Точилин

Москва, 2021

Содержание

1	Постановка задачи	3
2	Теоретические выкладки	3
3	Примеры	4
3.1	автономная система	5
3.2	неавтономная система	6
3.3	отсутствие свойства непрерывности в поставленной задаче	7

1 Постановка задачи

Требуется решить линейную задачу быстродействия:

$$\begin{aligned} \dot{x} &= A(t)x + B(t)u + f(t), \quad t \in [t_0, t_1]; \\ x &\in \mathbb{R}^2, \quad u \in \mathcal{P}(t) \text{ — компактное подмножество } \mathbb{R}^2; \\ x(t_0) &\in \mathcal{X}_0, \quad x(t_1) \in \mathcal{X}_1; \\ t_1 - t_0 &\rightarrow \min_{u(\cdot)}. \end{aligned} \tag{1}$$

То есть необходимо найти минимальное время $t^* > 0$, за которое траектория системы, выпущенная в момент времени t_0 из некоторой точки множества \mathcal{X}_0 , может попасть в некоторую точку множества \mathcal{X}_1 . Конкретно в нашей задаче также известен вид множеств:

$$\begin{aligned} \mathcal{P}(t) &\equiv \mathcal{P} = \{(x_1, x_2) \in \mathbb{R}^2 : \alpha(x_1 - a)^2 + \beta(x_2 - b)^2 \leq c\}, \quad \alpha, \beta, c > 0; \\ \mathcal{X}_0 &= \{(x_1, x_2) \in \mathbb{R}^2 : x_1^2 + x_2^2 \leq r^2\}, \quad r > 0; \\ \mathcal{X}_1 &= \text{conv}\{q_1, q_2, q_3, q_4\}, \quad q_1, q_2, q_3, q_4 \in \mathbb{R}^2. \end{aligned} \tag{2}$$

2 Теоретические выкладки

Для решения поставленной задачи нам потребуются известная

Теорема (ПМП для линейной задачи быстродействия). Пусть $(x^*(t), u^*(t))$ — оптимальная пара в задаче (1), тогда

$$\begin{aligned} \exists \psi(t) &\in \mathbb{R}^2 \text{ — сопряженная переменная :} \\ \dot{\psi}(t) &= -A^*(t) \cdot \psi(t), \quad \psi(t) \neq 0, \end{aligned} \tag{3}$$

причем имеют место

1) принцип максимума

$$\langle \psi(t), B(t)u^*(t) \rangle \stackrel{n.g}{=} \rho(\psi(t), B(t)\mathcal{P}(t)), \tag{4}$$

2) условие трансверсальности на левом конце

$$\langle \psi(t_0), x^*(t_0) \rangle = \rho(\psi(t_0), \mathcal{X}_0), \tag{5}$$

3) условие трансверсальности на правом конце

$$\langle -\psi(t_1), x^*(t_1) \rangle = \rho(-\psi(t_1), \mathcal{X}_1). \tag{6}$$

Итак пусть $\psi(t), t \in [t_0, t^*]$ — сопряженная к оптимальной паре $(x^*(t), u^*(t))$ переменная. Сперва найдем начальную точку оптимальной траектории $x^*(t_0)$. Из левого условия трансверсальности (5) ясно, что $x^*(t_0)$ — опорная точка функции¹ $\rho(\psi(t_0), \mathcal{X}_0)$. Известно, что для \mathcal{X}_0 вида (2)

$$\text{опорная точка } x^* = \frac{r}{\|\psi\|_2} \psi,$$

где ψ — аргумент опорной функции $\rho(\psi, \mathcal{X}_0)$.

Не ограничивая общности допустим, что $\|\psi(t_0)\|_2 = 1$, тогда

$$x^*(t_0) = r\psi(t_0). \tag{7}$$

¹здесь и далее словосочетание "опорная точка функции $\rho(\psi, \mathcal{M})$ " означает опорную точку множества \mathcal{M} в направлении вектора ψ . Подобное словопотребление мотивировано тем, что в качестве аргумента ψ будут встречаться довольно сложные выражения, которые необходимо явно учитывать в вычислениях. В то же время классическое понятие опорная точка множества плохо отражает (во всяком случае не отражает явно) зависимость этой точки от первого аргумента опорной функции.

Далее, используя принцип максимума (4) получим управление $u^*(t)$. Обозначим за $v^*(t)$ опорную точку функции $\rho(\psi(t), B(t)\mathcal{P}(t)) = \rho(\psi(t), B(t)\mathcal{P})$ для почти всех $t \in [t_0, t^*]$. Тогда из (4)

$$u^*(t) = B^{-1}(t)v^*(t).$$

Из определения опорной функции и свойства: $\rho(\psi(t), B(t)\mathcal{P}) = \rho(B^*(t)\psi(t), \mathcal{P})$; очевидно следует, что

$$v^*(t) = B(t)w^*(t),$$

где $w^*(t)$ — опорная точка для $\rho(B^*(t)\psi(t), \mathcal{P})$.

Поскольку

$$\mathcal{P} = P\mathcal{S}_1(0) + q,$$

$$\text{где } P = \begin{pmatrix} \sqrt{\alpha c} & 0 \\ 0 & \sqrt{\beta c} \end{pmatrix}, q = \begin{pmatrix} a \\ b \end{pmatrix}, \mathcal{S}_1(0) = \{(x_1, x_2) \in \mathbb{R}^2 : x_1^2 + x_2^2 \leq 1\} \quad (\text{см. (2)}),$$

имеем

$$\rho(B^*(t)\psi(t), \mathcal{P}) = \rho(B^*(t)\psi(t), P\mathcal{S}_1(0) + q) = \rho(P^*B^*(t)\psi(t), \mathcal{S}_1(0)) + \rho(B^*(t)\psi(t), q) = \varrho_1(t) + \varrho_2(t).$$

Опорные точки функций $\varrho_1(t) + \varrho_2(t)$ известны и равны

$$q_1^*(t) = \frac{P^*B^*(t)\psi(t)}{\|P^*B^*(t)\psi(t)\|_2}, q_2^*(t) = q, \text{ соответственно.}$$

Возвращаясь к поиску опорной точки $w^*(t)$ во множестве \mathcal{P} получим

$$w^*(t) = Pq_1^*(t) + q_2^*(t) = P \frac{P^*B^*(t)\psi(t)}{\|P^*B^*(t)\psi(t)\|_2} + q.$$

Наконец, явно выразим искомую точку $u^*(t)$

$$u^*(t) = B^{-1}(t)v^*(t) = B^{-1}(t)B(t)w^*(t) = w^*(t) = (Pq_1^*(t) + q_2^*(t)) = \frac{PP^*B^*(t)\psi(t)}{\|P^*B^*(t)\psi(t)\|_2} + q, \text{ где} \quad (8)$$

$$P = \begin{pmatrix} \sqrt{\alpha c} & 0 \\ 0 & \sqrt{\beta c} \end{pmatrix}, q = \begin{pmatrix} a \\ b \end{pmatrix}; B(t) — некоторая заданная матрица.$$

Таким образом, располагая соответствующей сопряженной переменной $\psi(t), t \in [t_0, t^*]$ не составляет труда получить (7), (8) начальную точку $x^*(t_0)$ и оптимальное управление $u^*(t), t \in [t_0, t^*]$. Подставляя полученные значения в (1) получим классическую задачу Коши, при соблюдении условий гладкости имеющую единственное решение — оптимальную траекторию $x^*(t), t \in [t_0, t^*]$, где t^* — минимальное время. Более того, для получения траектории сопряженной переменной $\psi(t)$ достаточно иметь начальное условие $\psi(t_0)$ и решить соответствующую задачу Коши (3).

Замечание. Остались не обсужденными проблемы нахождения *оптимальных* $\psi(t_0)$ и t^* . Первая из них решается банальным перебором (осуществляемым, разумеется, компьютером), хоть и немного оптимизированным: ввиду свойств опорных функций мы можем, не сужая множество получаемых на выходе управлений и начальных точек траекторий, подозреваемых на оптимальность, перебирать лишь нормированные $\psi(t_0)$, т.е. лежащие на единичной окружности. С нахождением t^* все немного сложнее. Потребуется для каждого перебираемого значения $\psi(t_0)$, по достижении целевого множества (или при выходе за некоторое предельно допустимое время), останавливать процесс интегрирования соответствующей задачи Коши (1). После осуществления перебора выбрать наименьшее t_{min}^* . Соответствующие t_{min}^* управление и траекторию будем считать приближенно оптимальными. Точность полученного приближения можно оценить сравнив значения правой и левой части правого условия трансверсальности (6).

3 Примеры

Ниже приведены иллюстрации найденных алгоритмом решений для некоторых конфигураций системы.

3.1 автономная система

$$A(t) = \begin{pmatrix} 2 & 2 \\ 3 & 0 \end{pmatrix}, B(t) = \begin{pmatrix} 1 & 6 \\ 20 & 3 \end{pmatrix}, f(t) = \begin{pmatrix} 8 \\ 7 \end{pmatrix} \quad \text{в (1), и}$$

$$\alpha = 1, \beta = 2, a = 0.5, b = 3, c = 2; r = 3; (q_1, q_2, q_3, q_4) = \left(\begin{pmatrix} 10 \\ 10 \end{pmatrix}, \begin{pmatrix} 10 \\ 15 \end{pmatrix}, \begin{pmatrix} 15 \\ 10 \end{pmatrix}, \begin{pmatrix} 15 \\ 15 \end{pmatrix} \right) \quad \text{в (2)}.$$

Достигнутое время $t_{min}^* \approx 0,126$; ошибка условия трансверсальности на правом конце $\approx 0,049$.

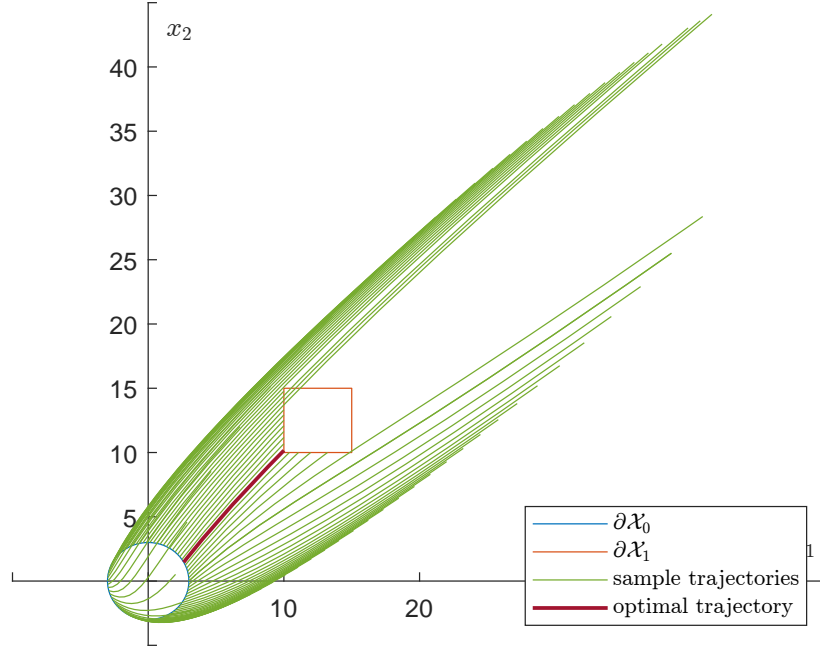


Рис. 1: Траектории подозрительные на оптимальность

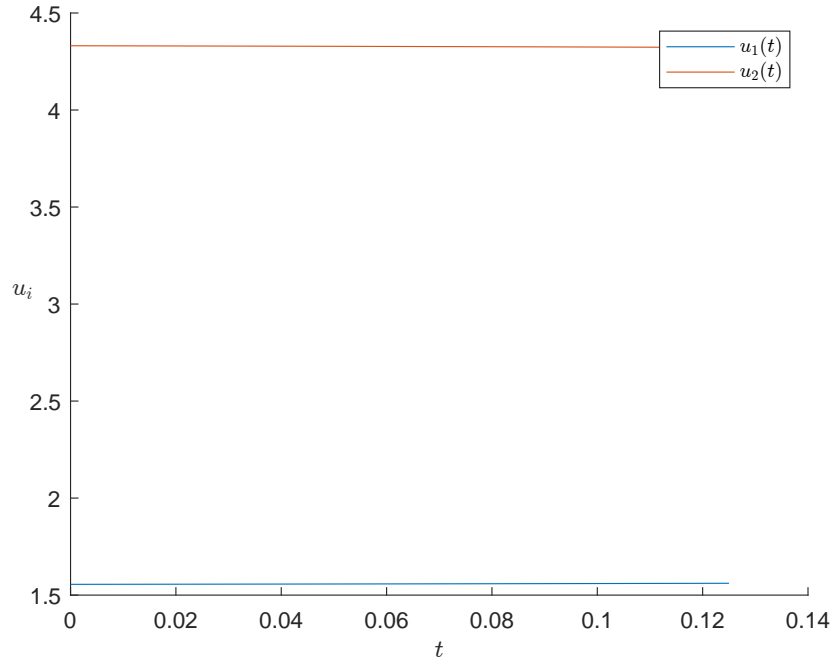


Рис. 2: Компоненты найденного приближенно-оптимального управления

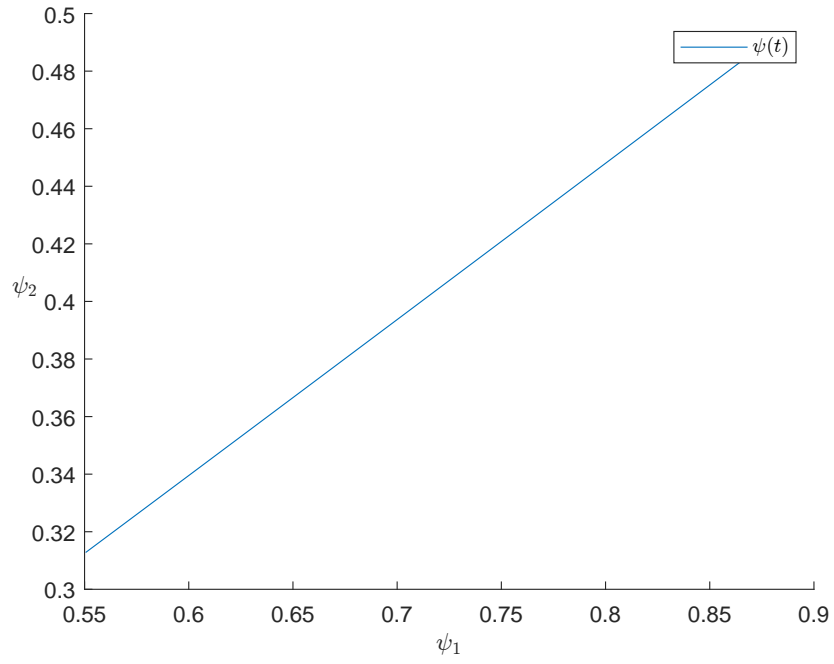


Рис. 3: Сопряженная переменная

3.2 неавтономная система

$$A(t) = \begin{pmatrix} \sin(t) & 2 \\ e^{-t} & \cos(t) \end{pmatrix}, B(t) = \begin{pmatrix} 1 & e^{2t} \\ t^3 + 2t - 1 & t \end{pmatrix}, f(t) = \begin{pmatrix} 2t \\ -t \end{pmatrix} \quad \text{в (1), и}$$

$$\alpha = 1, \beta = 2, a = 3, b = 3, c = 5; r = 3, 5; (q_1, q_2, q_3, q_4) = \left(\begin{pmatrix} 12 \\ 10 \end{pmatrix}, \begin{pmatrix} 10 \\ 15 \end{pmatrix}, \begin{pmatrix} 15 \\ 9 \end{pmatrix}, \begin{pmatrix} 17 \\ 15 \end{pmatrix} \right) \quad \text{в (2)}.$$

Достигнутое время $t_{min}^* \approx 0,607$; ошибка условия трансверсальности на правом конце $\approx 0,406$.

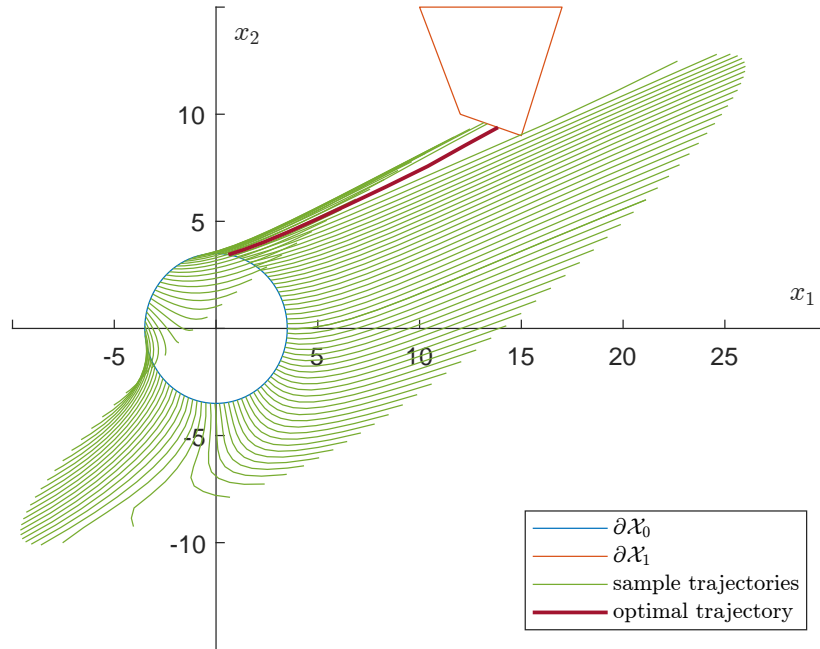


Рис. 4: Траектории подозрительные на оптимальность

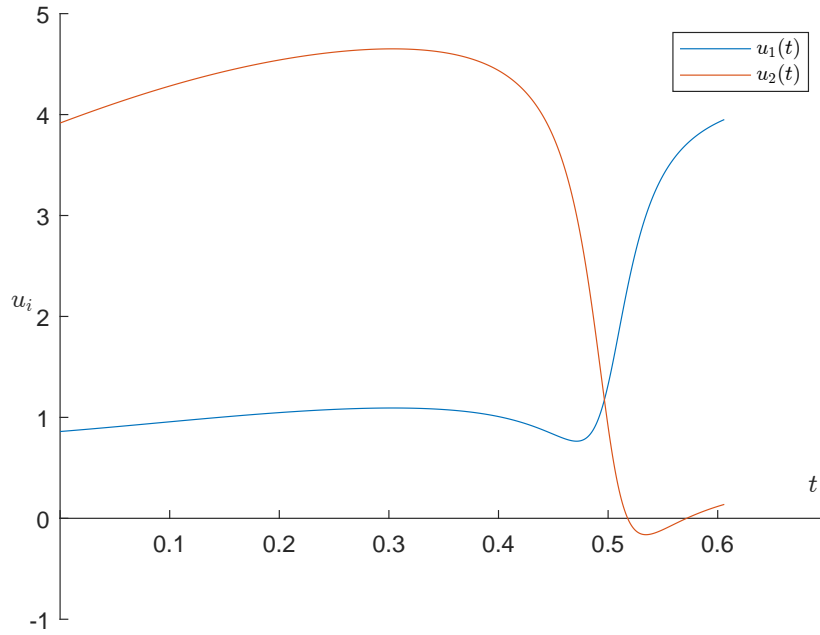


Рис. 5: Компоненты найденного приближенно-оптимального управления

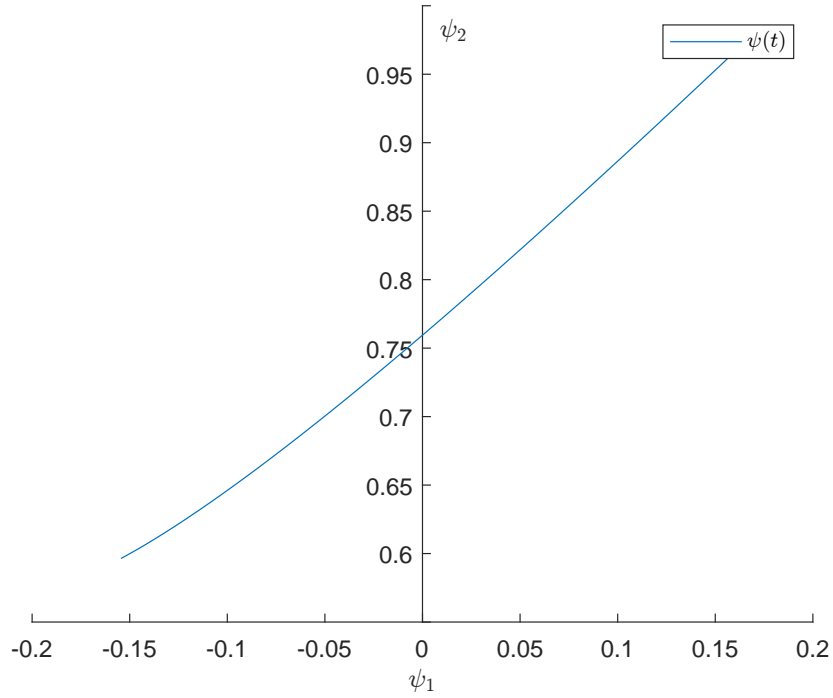


Рис. 6: Сопряженная переменная

3.3 отсутствие свойства непрерывности в поставленной задаче

$$A(t) = \begin{pmatrix} \sin(t) & 2 \\ e^{-t} & \cos(t) \end{pmatrix}, B(t) = \begin{pmatrix} 1 & e^{2t} \\ t^3 + 2t - 1 & t \end{pmatrix}, f(t) = \begin{pmatrix} 2t \\ -t \end{pmatrix} \quad \text{в (1), и}$$

$$\alpha = 1, \beta = 2, a = 3, b = 3, c = 5; r = 3, 5; (q_1, q_2, q_3, q_4) = \left(\begin{pmatrix} 12 \\ 12 \end{pmatrix}, \begin{pmatrix} 10 \\ 17 \end{pmatrix}, \begin{pmatrix} 15 \\ 11 \end{pmatrix}, \begin{pmatrix} 17 \\ 17 \end{pmatrix} \right) \quad \text{в (2)}.$$

В данном примере наглядно виден эффект отсутствия непрерывной зависимости минимального времени t_{min}^* от целевого множества. Параметры данной задачи идентичны предыдущей, за исключением

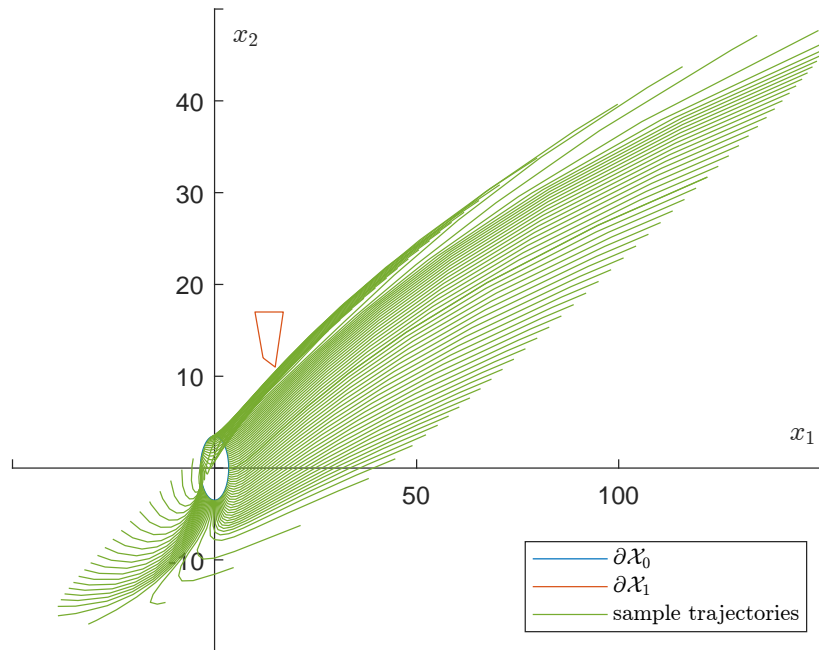


Рис. 7: Траектории подозрительные на оптимальность (масштаб осей отн. пр. 3.2 изменен)

лишь того, что целевое множество сдвинуто немного вверх. Уже при таком малом смещении решение задачи качественно меняется: множество \mathcal{X}_1 становится в принципе недостижимым за обозримый промежуток времени.

Список литературы

- [1] Комаров Ю. А. кафедральный курс «*Оптимальное управление (линейные системы)*», 2020.